

12-1 沼田川の模型実験について

岐阜県土木部	片 厚	武
岐阜大等工事部	増 因	重 臣
上	河 村	三 郎

I 緒 言

本実験は沼田川を流れる沼田川の一箇所を取り上げて実験したものであつて、本川は西半島の災害に見舞われてゐるが、昭和26年6月の1号台風は昭和26年当時の計画洪水流量の1120secをはるかに越える大洪水となり下流鳥江に於ける流域範囲内に1.2mの浸水があり、そこで沼田川の改修工事を施工するに当り、船橋港に隣接する沼田川の1号台風時の河道状況にて長さ1/250、巾1/100、垂直1/100の模型を製作し1号台風程度の流量を流下して其時の流れ場を河道断面を実験研究したものである。

II 假 定

前記諸元と距離れ定数を下記に示す。軸に垂直にy軸とし軸に垂直にz軸とし軸に平行にx軸とすれば下記が流れ場の基本式である。

$$\frac{\partial u}{\partial t} + \frac{1}{\rho} \frac{\partial u}{\partial x} + \frac{\rho g}{\rho} \left(\frac{u^2}{2g} \right) + (1-\alpha) \frac{u}{\rho g} \frac{\partial a}{\partial t} = - \frac{u^2}{C^2(1-\alpha)} \quad (1)$$

$$\frac{\partial a}{\partial t} + \frac{\partial}{\partial x} (a u) = 0 \quad (2)$$

$$C = \frac{1}{\rho g} (1-\alpha)^{\frac{1}{2}}$$

$\beta = \rho g C$ とする。 x, y, z, u, a の基本の量を H, L, μ, A と取ると (1), (2) 式を無次元化すれば

$$\begin{aligned} \frac{\partial u'}{\partial x'} + \frac{u^2}{H} \frac{\partial u'}{\partial t'} + \alpha \frac{u^2}{H} \frac{\partial}{\partial x'} \left(\frac{u^2}{2g} \right) + (1-\alpha) \frac{u^2}{\rho H} \frac{\partial a'}{\partial t'} \\ = \left(\frac{L}{H} - \frac{u^2}{\beta^2} \right) \frac{u^2 L}{H^3} \left(\frac{\alpha}{1-\alpha} \right)^{\frac{1}{2}} \end{aligned} \quad (3)$$

$$\frac{\partial a'}{\partial t'} + \frac{\partial}{\partial x'} (a' u') = 0 \quad (4)$$

(55)

ここで実河川とその模型河川に添字、1, 2, を附して区別すれば、

$$\frac{U_1}{\sqrt{g} H_1} = \frac{U_2}{\sqrt{g} H_2}, \quad i_1 \frac{L_1}{H_1} = i_2 \frac{L_2}{H_2}, \quad \frac{n_1^2}{\beta_1^{\frac{4}{3}}} \frac{U_1^2 L_1}{H_1^{\frac{5}{3}}} = \frac{n_2^2}{\beta_2^{\frac{4}{3}}} \frac{U_2^2 L_2}{H_2^{\frac{5}{3}}},$$

$$\frac{\delta_1}{\beta_1 h_1} = \frac{\delta_2}{\beta_2 h_2},$$

又流量をQ、水面巾をB、とすれば、 $Q = B H U$

$$\frac{Q_1}{Q_2} = \frac{B_1 H_1}{B_2 H_2} \sqrt{\frac{H_1}{H_2}} = 2.96 \times 10^5, \quad \frac{T_1}{T_2} = \frac{L_1}{L_2} \sqrt{\frac{H_2}{H_1}} = 21.0,$$

$$\frac{n_1}{n_2} \sqrt{\frac{L_2}{L_1}} \left(\frac{H_1}{H_2} \right)^{\frac{2}{3}} \left(\frac{\beta_1}{\beta_2} \right)^{\frac{2}{3}} = 1.73, \quad \therefore \left(\frac{\beta_1}{\beta_2} \right) = 1.10$$

3. 粗度係数の検定

i) 上流の粗度係数

上流の粗度係数は模型とは別の高さの1.9m、巾の、30m、長さの5km、勾配1/125の人工粗度を施したモルタル塗り木踏で粗度を検定した。実験値からの粗度係数算出には、Manning式を使用した。

$$\nabla = \frac{1}{m} \left(R + \delta \right)^{\frac{2}{3}} \quad \text{--- (43)}$$

これは木踏床の粗度の不規則性に対応する径深。

$$Q = A \cdot \nabla \quad \text{--- (44)}$$

$$(4) \text{ (4)より } \left(\frac{Q}{A} \right)^{\frac{2}{3}} = \left(\frac{\sqrt{g} R}{m} \right)^{\frac{2}{3}} (R + \delta) \quad \text{--- (45)}$$

(5)式の因(1)より $m = 0.0211$ を得て、前に相似律より、
 $m_1 = m_2 \times 1.73 = 0.036$ である。

ii) 下流島江附近の粗度係数

木踏床の相当粗度を δ_{es} とすれば ∇ は普通次の式で表わす事が出来る。

$$\frac{\nabla}{\delta_{es}} = A + B \log_{10} \frac{R}{\delta_{es}} \quad \text{--- (46)}$$

$$\nabla = \sqrt{g R I}$$

又 Manning式を同じ型式に変形すれば、

(57)

$$\frac{v}{v_*} = \frac{R^{\frac{1}{6}}}{m\sqrt{g}} \quad (7)$$

$$(6) \text{ と } (7) \text{ から } \frac{m\sqrt{g}}{f_{s, \delta}^{\frac{1}{6}}} = \frac{(R)^{\frac{1}{6}}}{A + B \log_{10} \frac{R}{f_{s, \delta}}} \quad (8)$$

δ の値は固定床の場合には大体 \sqrt{g} に比例すると考へて下流鳥江附近に於ける河床土砂の粒度分布曲線から、 $f_{s, \delta} = D_{35} = 18.8$ (図(2)参照)、この δ の値を使用して (9) 式の図表 (水工専門近の進歩、土木学会) から $m = 0.026$ を用いて前に模型の粗度として

$$m_2 = \frac{m}{1.75} = \frac{0.026}{1.75} = 0.015$$

よって模型に於ける下流鉛直の粗度はモルタルフラッシュ上口として。

4. 模型と実河川の δ

$R - \delta$ なる粗度を有する水路の流れの抵抗法則により定まるものとし、その関係式として Manning の式

$$v = \frac{1}{n} (R - \delta)^{\frac{2}{3}} \dot{c}^{\frac{1}{2}} \quad (9)$$

にてこの河川に於けるとの大約の値を見積るに δ の満足する関係として

$$\psi^1 = \frac{\rho_s - \rho}{\rho} \frac{D_{35}}{(R - \delta) \lambda} \quad (10)$$

ψ^1 と v/v_* との間に同一の曲線関係がある。

$$v_* = \sqrt{g \delta \dot{c}} \quad (11)$$

(6) (10), (11) より δ を求めて $\delta = 48.3 \text{ cm}$ を得て、相似律より、

$$\delta_1 = \delta_2 \frac{\rho_1}{\rho_2} \frac{\beta_1}{\beta_2} = \delta_2 \times 130 \times 1.1 = 143 \delta_2 \quad (12)$$

又図(1)より上流の δ_2 は 0.44 cm である。(12) 式にて上流、下流、の δ を算出すると次表の如し。

	上流	下流
$\delta_1 (\text{cm})$	(60.0)	48.3
$\delta_2 (\text{cm})$	0.44	(0.34)

() 内の数値は (12) 式により計算したものである。

四、実験洪水波形と実験方法

(1) 実験洪水波形

波形として昭和20年1月の1号暴風雨の紀錄より豊本洪水波型Ⅰ(図(4-1))を決定し、次に双頭波形として豊本洪水波形Ⅱの分(下流側)を既往記録をもとに波形Ⅱとした。次に実験洪水波形を示す。

波形	初期流量	最大流量	水位上昇時間	減水時間
Ⅰ	100m ³ /sec(10 ⁴ m ³ /sec)	100m ³ /sec(110 ⁴ m ³ /sec)	43.05(1.05時間)	実験Ⅰは実験Ⅱに 比較的時間差はない
Ⅱ	—	—	—	30分(0.5時間)

(2) 実験方法

波形Ⅰ、Ⅱは前記の初期流量を1.05sec毎に定常流として流して約1.0時間過流。当豊本洪水波形に従って出水口ノズルの上下流の圧力を観測して流量を確認した。右側点で本流の模型水路壁に入り口付近にビニール管を挿入して壁面を測定した。

(3) 実験結果

河川内河側の直角ノズルの流量遮減、洪水度の減速速度に関するもので断面寸法が標準寸法より2%、42.1m(5,264km)の範囲で行つた実験の結果である。

波形	初期貯留容量	ノズルの流量遮減	洪水度遮速度
Ⅰ	100m ³ (1.25m ³ ×10 ³ m ³)	50.0%sec(146 ^{1/2} sec)	0.26 ^{1/2} sec(11km/hr)
Ⅱ	50m ³ (1.25m ³ ×10 ³ m ³)	40.0%sec(156 ^{1/2} sec)	0.20 ^{1/2} sec(8km/hr)
		42.0%sec(120 ^{1/2} sec)	0.20 ^{1/2} sec(8km/hr)

(1) 内外装設の模型実験の効率を個別律により実河川に轉換してある。
図(4-5)、(6)参照

FIG.(1)

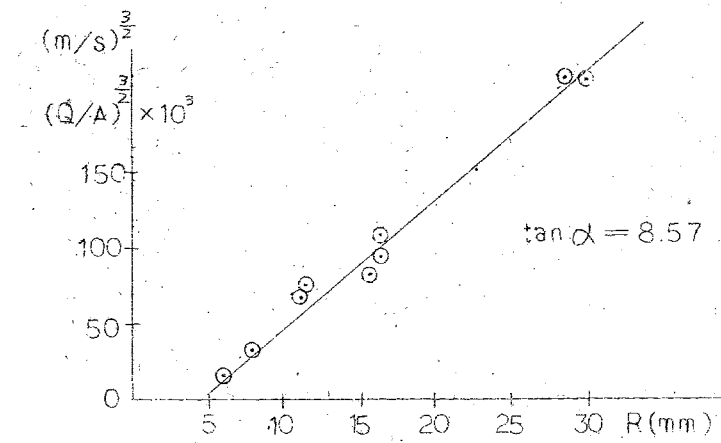


FIG.(3)

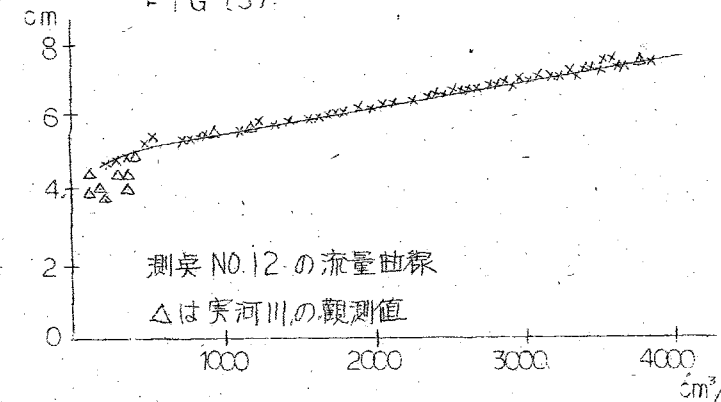


FIG.(5)

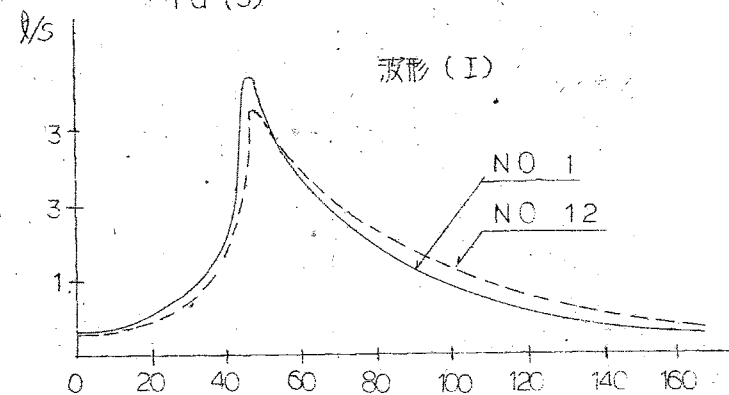


FIG.(2)

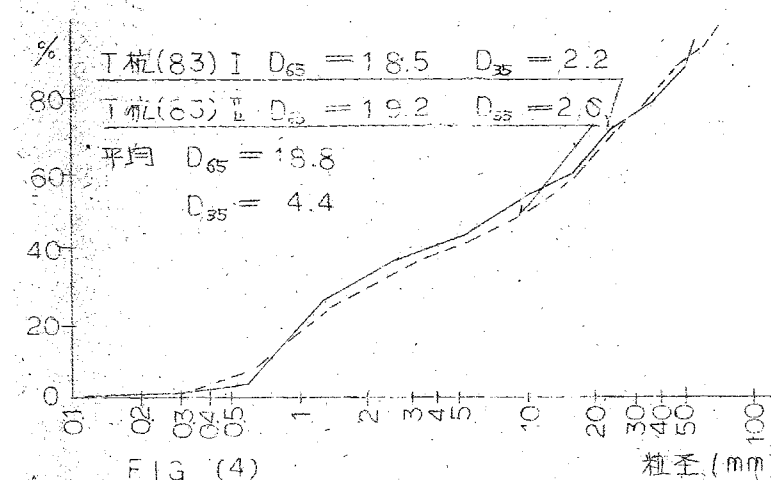


FIG.(4)

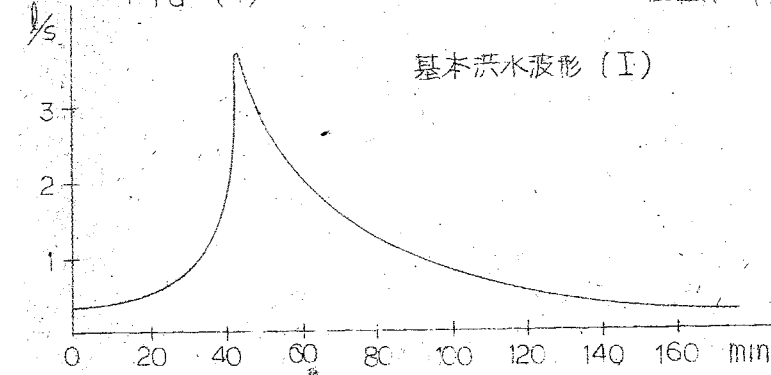


FIG.(6)

